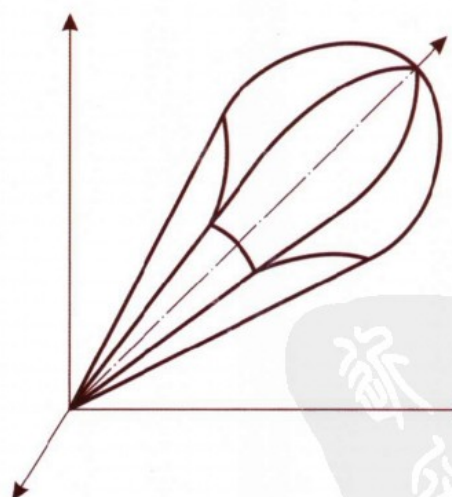


新世纪高等学校研究生适用教材

岩土塑性力学基础
Fundamentals of Geotechnics Plasticity

张学言 闫澍旺 主编

岩土塑性力学基础



新世纪
高等学校
研究生适用教材
岩土塑性力学基础
PDG

 天津大学出版社
TIANJIN UNIVERSITY PRESS

组稿编辑 田 达
责任编辑 姚卫东
封面设计 郭 泉
技术设计 郭 婷

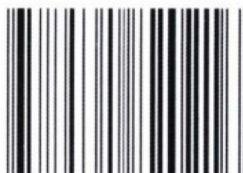
Fundamentals of Geotechnics Plasticity

岩 土 塑 性 力 学 基 础

新世纪高等学校研究生适用教材

- ★ 国际金融
- ★ 先进制造技术
- ★ 高等化工热力学
- ★ 分离过程与技术
- ★ 现代中药质量控制
- ★ 高等流体力学
- ★ 工程结构试验理论与技术
- ★ 动态数据建模与处理
- ★ 应用声学基础——实轴积分法及二维谱技术
- ★ **岩土塑性力学基础**

ISBN 7-5618-2021-6



9 787561 820216 >

定价： 16.00元



新世纪高等学校研究生适用教材

岩土塑性力学基础

Fundamentals of Geotechnics Plasticity

张学言 闫澍旺 主编



内容提要

本书主要介绍岩土弹塑性本构关系理论与模型。内容包括应力与应变理论、屈服与强度理论、弹塑性本构关系理论与计算模型,同时还简要介绍了近年来发展和完善起来的广义塑性力学、双剪应力系列屈服与破坏理论。本书主要适用于岩土工程专业及土木、水利、公路、港口及海洋工程等相关专业的硕士研究生教学,亦可供上述相关工程的岩土工程科技人员和教学人员参考。

图书在版编目(CIP)数据

岩土塑性力学基础 / 张学言, 闫澍旺主编. —天津:
天津大学出版社, 2004. 9

新世纪高等学校研究生适用教材

ISBN 7-5618-2021-6

I . 岩 … II . ①张… ②闫… III . 岩土力学: 塑性
力学 - 研究生 - 教材 IV . TU4

中国版本图书馆 CIP 数据核字(2004)第 086156 号

出版发行 天津大学出版社

出版人 杨风和

地 址 天津市卫津路 92 号天津大学内(邮编:300072)

电 话 发行部:022-27403647 邮购部:022-27402742

印 刷 天津市新华印刷三厂

经 销 全国各地新华书店

开 本 185mm × 260mm

印 张 11.25

字 数 281 千

版 次 2004 年 9 月第 1 版

印 次 2004 年 9 月第 1 次

印 数 1 - 3 000

定 价 16.00 元



前　　言

岩土塑性力学是一门新兴的边缘学科。20世纪80年代初,我国各工科院校普遍为岩土工程及相关专业的硕士生开设岩土塑性力学课程。当时国内还没有相应的教材。为解决燃眉之急,张学言于1985年编写了一本油印讲义。后来,经过较大的补充与修改,他撰就《岩土塑性力学》,由交通出版社于1993年正式出版。根据近20年来的教学实践,编者认为,1993年版本的教材内容系统全面,但对初学者来说内容较多、较深,而1985年的油印本内容简明扼要,概念清楚,适于初学者。尽管迄今经过了近20年时间,但岩土塑性力学的基本内容和模型仍然适用。为此,此次编写仍以1985年版本为蓝本,进行修改、补充重编。全书由张学言、闫澍旺主编。第一章由张学言改编,第二、三章由陆培毅改编,第四、五、六章由闫澍旺改编,新增第七章由张学言编写(本章可不讲,为开阔学生的眼界而编)。

全书内容主要介绍岩土弹塑性本构关系理论与计算模型。内容引用了国内外50多年来的主要研究成果,编入了编者多年来对岩土塑性力学学习与研究的心得与成果,例如对各种弹塑性模量的几何与物理解释,对双剪应力与Coulomb-Mohr强度理论的比较与研究,对Cambridge模型的研究等。书中还引用了郑颖人对广义塑性力学和应变空间理论的研究、俞茂宏对双剪应力屈服与破坏准则的研究以及沈珠江对本构关系理论的研究成果。

本书在编写过程中得到天津大学研究生院培养处和天津大学出版社的大力支持与帮助。硕士研究生侯晋芳承担了大部分书稿的打印、校对和部分插图的绘制工作,严驰老师参加了书稿最后的审校工作。

在新书即将出版之际,编者谨向为本书提供资料和帮助的同仁表示感谢。

张学言 闫澍旺
2003年12月于津大园

外国作者中译名

外文名	中译名	外文名	中译名
Arygris	阿瑞基瑞斯	Lamé G.	拉 梅
Bauschinger	包辛格	Laplace	拉普拉斯
Bazant Z P.	巴赞特	Leve	列 维
Bridgman P W.	勃里奇曼	Lode W.	劳 德
Cauchy	柯 西	Mises V.	米塞斯
Chen W F.	陈惠发	Mohr O.	莫 尔
Coulomb C A.	库 仑	Mroz Z.	姆罗兹
Соколовский В.В.	索柯洛夫斯基	Newton	牛 顿
Dafalias Y F.	达法略斯	Pande G N.	潘 德
Drucker D C.	德鲁克	Poisson S D.	泊 松
Desai C S.	德 赛	Prandtl L.	普朗特尔
Duncan J M.	邓 肯	Prevost V H.	普雷沃斯特
Euler	欧 拉	Prager W.	普拉格
Green G A.	格 林	Rankine W J M.	朗 肯
Gudehus G.	古德豪斯	Reuss A.	路埃斯
Hill R.	希 尔	Roscoe K H.	罗斯科
Hoek	霍 克	Rowe P W.	罗 威
Hooke R.	胡 克	Terzaghi K.	太沙基
Hvorslev M J.	伏斯列夫	Tresca H.	特瑞斯卡
Janbu N.	詹 布	Valanis K C.	瓦拉尼斯
Kondner R L.	康 纳	Zeigler H	其格勒
Kronecker	克朗内克尔	Zienkiewicz O C.	辛克维兹
Lade P V.	拉 德	Ильюшин А.А.	伊留辛
Lagrange	拉格朗日		

主要符号与说明

一、应力、应变及其不变量

符号	意义	符号	意义
$\{\sigma\}$	应力向量	$\{\epsilon\}$	应变向量
σ_{ij}	应力张量	ϵ_{ij}	应变张量
s_{ij}	偏应力张量	e_{ij}	偏应变张量
$\sigma_1, \sigma_2, \sigma_3$	主应力	$\epsilon_1, \epsilon_2, \epsilon_3$	主应变
s_1, s_2, s_3	偏主应力	e_1, e_2, e_3	偏主应变
τ_1, τ_2, τ_3	主剪应力	$\gamma_1, \gamma_2, \gamma_3$	主剪应变
或 $\tau_{23}, \tau_{13}, \tau_{12}$		或 $\gamma_{23}, \gamma_{13}, \gamma_{12}$	
$\sigma(\sigma_n), \tau$	正应力与剪应力	$(\epsilon_n), \gamma$	正应变与剪应变
σ_8, τ_8	八面体正应力及剪应力	ϵ_8, γ_8	八面体正应变及剪应变
σ_m	平均正应力	ϵ_m	平均正应变
τ_m, ϵ_s	平均剪应力及纯剪应力	γ_m, ϵ_s	平均剪应变及纯剪应变
p	静水应力	ϵ_v	体应变
q	广义剪应力	$\gamma, d\gamma$	广义剪应变及其增量
$\sigma_e (= q)$	等效应力或应力强度	$\gamma_e (= \bar{\gamma})$	等效应变或应变强度
σ_o, τ_o	应力偏平面上的正应力及剪应力	ϵ_e, γ_e	应变偏平面上的正应变与剪应变
ρ_o	应力偏平面距原点距离	ρ_e	应变偏平面距原点距离
r_o	应力偏平面上的应力矢	ν_e	应变偏平面上的应变矢
I_1, I_2, I_3	应力第一、二、三不变量	I'_1, I'_2, I'_3	应变第一、二、三不变量
J_1, J_2, J_3	偏应力第一、二、三不变量	J'_1, J'_2, J'_3	偏应变第一、二、三不变量
μ_o, θ_o	应力 Lode 参数及 Lode 角	μ_e, θ_e	应变 Lode 参数及 Lode 角
δ_{ij}	Kronecker Delta	u	
p_c	固结应力		孔隙水应力

二、材料常数

符号	意义	符号	意义
E, μ	Young 氏弹性模量及 Poisson 比	K, G	弹性体积模量及剪切弹性模量
λ, G	弹性 Lamé 常数	M	弹性侧限压缩模量或 $p - q$ 平面内破坏线的斜率
k	屈服参数	k_m, k_T	Mises 及 Tresca 屈服常数
φ, c	Coulomb-Mohr 屈服参数, 摩擦角及粘聚力	φ', c'	有效摩擦角及有效粘聚力
σ_s, τ_s	拉、压及纯剪切屈服应力	σ_c, σ_t	单向压缩及抗拉强度
q_u	无侧限抗压强度	a	压缩系数
c_e, c_o	v -log p 曲线的斜率, 体积压缩及膨胀指数	λ, κ	$v - \ln p$ 曲线的斜率, 体积压缩及膨胀指数
e_0, v_0	初始孔隙比及比容	e_{cr}, v_{cr}	临界孔隙比及比容

三、几何量、物理量及函数

符号	意义	符号	意义
l, m, n n	方向余弦 法线矢量	W^p, dW^p $\Omega(\sigma_{ij})$	塑性功及其增量 弹性能量函数

续表

符号	意义	符号	意义
u, v	位移,速度	$\Phi(\sigma_y, H_a)$	加载函数
p_a	大气压力	$Q(\sigma_y)$	塑性势函数
A	硬化模量或面积	D_{ijkl}, \mathbf{D}	刚度张量及矩阵
$d\lambda$	塑性标量因子	C_{ijkl}, \mathbf{C}	柔度张量及矩阵
H_o, dH_o	硬化参数及其增量	$W(\epsilon_y)$	应变能函数
e, v	孔隙比及比容	f_f	破坏函数
$f(\sigma_y)$	应力屈服函数	$F(\sigma_y)$	应变屈服函数

四、上标与下标符号

上标	意义	下标	意义
e	弹性	c, t	压缩及拉伸
ep	弹塑性	cr	临界状态量
p	塑性	f	破坏
0	初值	m	平均
		n, t	法向与切向
		σ, ϵ	应力空间及应变空间
		p, q	静水压力及广义剪应力



目 录

第一章 绪论	(1)
第一节 岩土塑性力学与变形固体力学	(1)
第二节 岩土类材料的应力 - 应变 - 强度特性	(4)
第三节 弹塑性力学及工程岩土力学的基本特征与局限性	(8)
第四节 岩土弹塑性本构关系与模型	(10)
第五节 岩土塑性力学的建立和发展	(12)
习 题	(13)
第二章 应力与应变	(14)
第一节 张量及其下标记法简介	(14)
第二节 应力张量及其分解	(19)
第三节 八面体剪应力与广义剪应力	(25)
第四节 主应力空间与平面	(26)
第五节 应力分析小结	(31)
第六节 应变张量及其分解	(34)
第七节 应变率张量及应变分量的增量	(38)
第八节 应力路径与应变路径	(40)
习 题	(43)
第三章 弹性本构关系	(45)
第一节 线弹性本构关系的不同表达式	(45)
第二节 弹性常数的物理意义与测定	(49)
第三节 弹性体变与形变定律	(51)
第四节 八面体及广义应力 - 应变关系	(53)
第五节 主应力及主应变和偏主应力及偏主应变的表达式	(54)
第六节 弹性应变能与弹性势函数	(55)
第七节 非线性弹性本构关系概述	(56)
第八节 非线性弹性本构关系——双曲线(邓肯 - 张)模型简介	(59)
习 题	(64)
第四章 屈服与破坏准则	(66)
第一节 概述	(66)
第二节 Coulomb-Mohr 屈服与破坏准则	(70)
第三节 Tresca 准则与 Zienkiewice-Pande 准则	(72)
第四节 Mises 准则与 Drucker-Prager 准则	(76)
第五节 Lade-Duncan 准则及 Lade 准则	(81)
习 题	(86)



第五章 塑性增量本构关系	(88)
第一节 全量理论与增量理论	(88)
第二节 加载条件与加卸载准则	(89)
第三节 Drucker 公设和 Ильиничин 公设	(93)
第四节 流动法则——塑性位势流动理论	(97)
第五节 硬化模型与硬化定律	(103)
第六节 普遍的弹塑性本构关系及其矩阵	(108)
习 题	(115)
第六章 岩土塑性本构模型	(117)
第一节 理想塑性模型	(117)
第二节 Cambridge 等向硬化模型	(120)
第三节 Lade-Duncan 模型与 Lade 模型	(131)
习 题	(138)
第七章 岩土塑性力学若干进展及模型	(140)
第一节 广义塑性力学简介	(140)
第二节 应变空间表述的本构空间	(146)
第三节 双剪应力系列屈服与破坏准则	(150)
第四节 其他岩土塑性模型简介	(158)
习 题	(164)
参考文献	(166)



第一章 绪 论

第一节 岩土塑性力学与变形固体力学

岩土塑性力学是变形固体力学的一个分支。要了解什么是岩土塑性力学，首先必须了解岩土塑性力学的性质与内容以及岩土塑性力学与变形固体力学中其他力学分支的区别与联系。

一、岩土塑性力学的性质与内容

岩土塑性力学是近 50 年来发展起来的一门新兴边缘学科。它将变形固体力学理论与工程岩土力学更加紧密地联系起来。岩土塑性力学是在经典或传统的金属塑性力学理论的基础上，进而研究岩土类材料的塑性力学特性而发展起来的。这里所谓的岩土类材料，除岩石和土类之外，还包括水泥、混凝土和钢筋混凝土等。因为从塑性力学的观点来看，它们具有许多相同和相似的性质，故统称为岩土类材料。

岩土塑性力学的基本内容包括：

- (1) 岩土类材料的弹塑性本构关系理论和模型；
- (2) 岩土类材料的极限分析理论；
- (3) 它们在岩土工程设计和施工中的应用。

这里提出了“本构关系”一词。本构关系是英文 Constitutive Relation 的意译。在力学中，本构关系泛指普遍的应力 - 应变关系。因为在变形固体力学中，应力不只是与应变有关，而且还与物体的加载历时、应力历史、加载方式(或应力路径)以及温度和时间有关。因此材料的本构关系或普遍的应力 - 应变关系可以表示为

$$\sigma_{ij} = f(\epsilon_{ij}, t, T, \text{应力路径等}) \quad (1-1-1)$$

式中 t ——加载历时；

T ——温度。

例如，弹性力学中的广义胡克定律就是最简单的材料本构关系，它不计时间、温度和应力路径及加载历时的影响，因此应力和应变之间存在着唯一对应的关系。当材料应力超出弹性范围而进入塑性阶段时，应力和应变之间就没有唯一的对应关系，而是要受应力历史和应力路径的影响。这时，材料的应力 - 应变关系就称为塑性本构关系。塑性本构关系要比弹性本构关系复杂得多。如果再考虑材料应力 - 应变关系随温度和时间的变化，本构关系将更加复杂。本书所要讲的岩土本构关系主要是指与时间和温度无关的塑性本构关系。

岩土的极限分析理论是利用塑性力学中的滑移线理论和极限分析理论来解决挡土墙土压力、边坡及洞体的稳定以及地基承载力等岩土体强度与稳定性问题。不过，岩土体的滑移线场理论与极限分析方法要比主要适用于金属的经典塑性理论复杂得多。



本书主要介绍岩土的弹塑性本构关系理论和有代表性的计算模型。

二、变形固体材料本构关系的分类与特点

作为建筑材料(如土、石坝的土石料)或建筑物地基以及地下洞体介质的岩土材料,宏观上可以视为连续介质或固体材料。因此,为了研究岩土的塑性本构关系,首先应当了解变形固体力学本构关系的分类和各种本构关系的特点与差别。变形固体力学一般假设材料是均匀的和连续的,并且有无限的韧性或无限变形能力而不出现裂隙或断裂。在此基础上,按照材料的不同受力阶段和应力-应变关系特性,连续固体材料(包括金属、岩土和混凝土等)的本构关系分为以下几种类型和亚类,见表 1-1-1。

表 1-1-1 连续固体材料本构关系分类

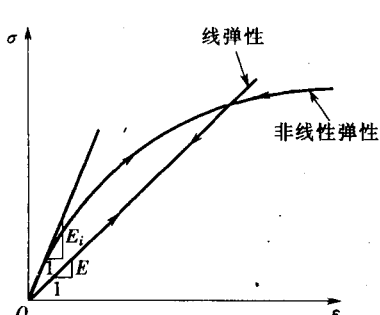
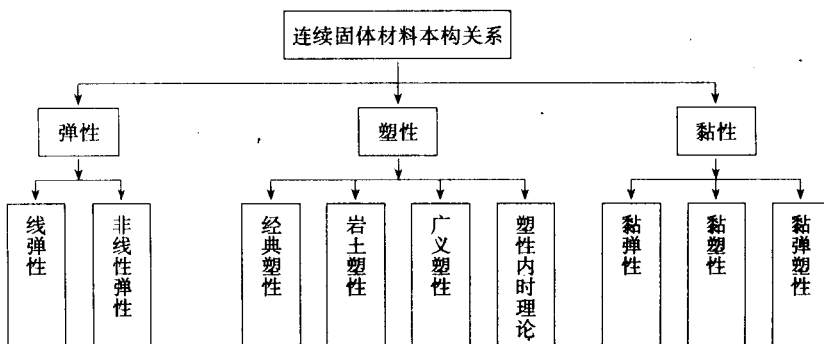


图 1-1-1 弹性本构关系曲线

1. 弹性本构关系

弹性本构关系又分线弹性本构关系和非线性弹性本构关系,如表 1-1-1 所示。线弹性本构关系即一般的弹性力学研究的范畴,其应力-应变关系服从广义胡克定律;非线性弹性本构关系的应力-应变曲线是非线性的,但是加卸载仍然沿着同一曲线进行,如图 1-1-1 所示。

2. 塑性本构关系

塑性本构关系可以进一步分为四个亚类,如表 1-1-1 所示。为了进一步说明塑性本构关系的分类,我们先分析图 1-1-2 中混凝土的典型拉压

应力-应变曲线,并结合此曲线介绍有关塑性力学的基本名词与概念。可以看到,混凝土的抗拉强度远小于抗压强度,属于脆性破坏,不在我们研究范围之列。至于混凝土的受压破坏过程,就要复杂得多,以下逐段说明。

(1) 弹性阶段 OA 。此段基本上呈直线,应力-应变符合线弹性本构关系,属弹性力学范畴。

(2) 硬化阶段 AC 。 A 点称为屈服极限,是弹性应力的上限,也是塑性变形阶段的开始。这是因为,在 A 点以后,如果卸载,就可以产生永久变形 ϵ^p 和弹性变形 ϵ^e 。永久变形就是不可恢复的塑性变形。由于自 A 点开始,随着应变的增加,屈服应力也不断增加,因此称为应变硬化或加工硬化阶段,简称硬化。

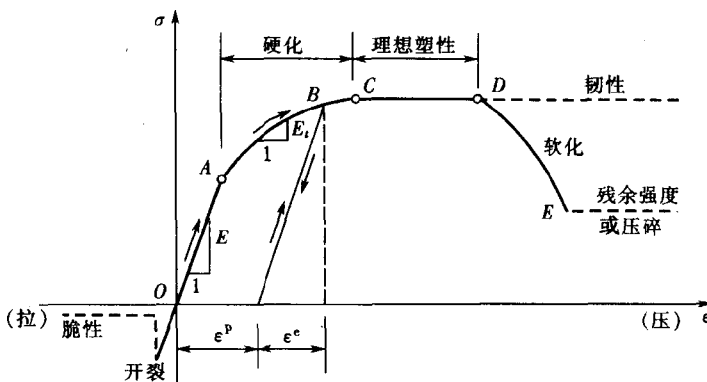


图 1-1-2 混凝土单向受力的应力-应变曲线

(3) 理想塑性阶段(CD 段)。此阶段的特点是应力不增加,应变却不断增加。这一段的应力-应变关系称为理想塑性本构关系。

(4) 软化阶段(DE 段)。此阶段的特点是应变逐渐增加而应力却在不断减小,直至材料压碎破坏或保持一定的残余强度。由于此段的屈服应力随应变的增加而减小,故称为应变软化阶段或简称为软化阶段。

现在我们再来看四个塑性本构关系亚类的区别与联系。

(1) 经典塑性。理想塑性专指屈服应力不随应变增加而变化的塑性性质。工程中常常将韧性金属材料视为理想塑性材料,据此而建立起来的塑性理论称为经典或理想塑性力学,也有称为金属塑性力学的。岩土类材料的理想塑性变形阶段不明显。但为了简化计算,常常将其应力-应变曲线简化为理想弹塑性的折线 ABC ,如图1-1-3所示。

(2) 岩土塑性。岩土类材料的本构关系具有硬化、软化以及剪胀性与压硬性(见第二章)等特性,与理想塑性材料有较大差别,一般理想塑性本构理论不再适用。因此,利用理想塑性理论的某些假设,如正交流动法则、硬化规律(见第五章)等基本假设,结合岩土类材料特殊的本构特征而建立起来的塑性理论称为岩土塑性力学。这正是本书研究与讲述的主要内容。

(3) 广义塑性。广义塑性理论主要是针对岩土类材料而提出的。与我们所讲的岩土塑性力学不同的是,广义塑性力学抛弃了理想塑性某些不合理的假设,如塑性势和正交流动法则(见第五章)等,是根据多屈服面理论而建立起来的广义塑性理论。特殊情况下,广义塑性可以简化为理想塑性,同样适用于金属材料。关于广义塑性力学的简介见本书第七章。

(4) 塑性内时理论。塑性内时理论(Plastic Endochonic Theory)是近30多年来发展起来的一种没有屈服面概念,而引入反映材料累计塑性应变的材料内部时间(Intrinsic Time)的新型塑性理论。关于塑性内时理论的内容见本书第七章。

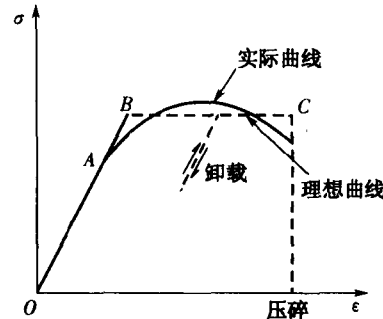


图 1-1-3 理想弹塑性材料



3. 黏性本构关系

上述弹性本构关系和塑性本构关系都假设材料的应力 - 应变关系与时间或应变速率无关。当材料的应力或应变随时间变化时,这种性质就称为黏滞性或简称黏性,相应的应力 - 应变关系就称为黏性本构方程。材料的黏滞性常常和弹性或塑性性质同时发生。因此,材料的黏性本构方程分为黏弹性、黏塑性和黏弹塑性三种类型。在工程中,我们常称材料的黏性性质为流变;称常应力下应变随时间的不断变化为材料的蠕变;称常应变下应力随时间的下降为应力松弛。黏性材料的应力 - 应变 - 时间关系如图 1-1-4(a)、(b)所示。图 1-1-4(a)为不同应变速率($\dot{\epsilon}$)下的应力 - 应变关系,图 1-1-4(b)表示材料的蠕变和应力松弛。黏性本构关系不属本书所讨论内容。

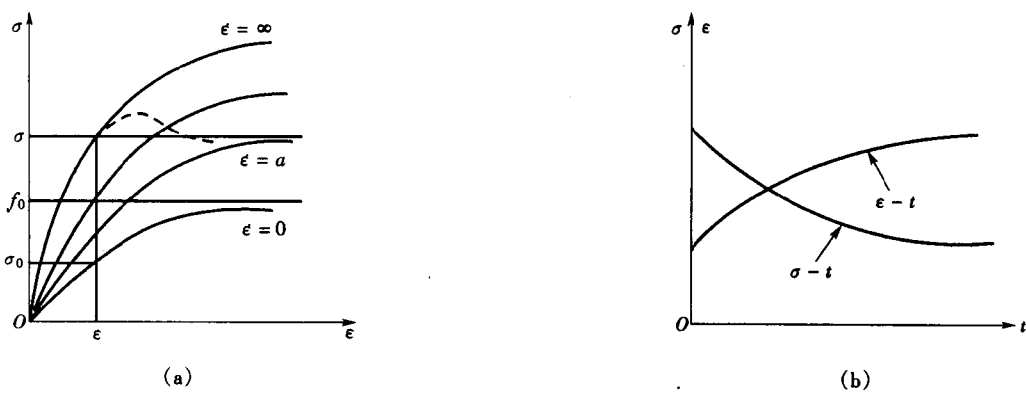


图 1-1-4 黏性本构关系

(a) 应力 - 应变曲线;(b) 应力松弛与蠕变曲线

第二节 岩土类材料的应力 - 应变 - 强度特性

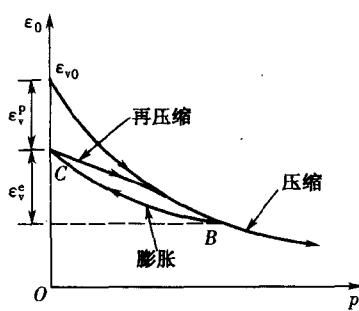
通过岩土类材料的单轴压缩试验、直接剪切试验和常规三轴试验($\sigma_1 > \sigma_2 = \sigma_3$)、真三轴试验($\sigma_1 \neq \sigma_2 \neq \sigma_3$)以及平面应变等各种试验方法,可以得出一系列的岩土类材料的应力 - 应变 - 强度试验曲线。以下我们结合这些试验曲线来说明岩土类材料的应力 - 应变 - 强度特性。

一、岩土类材料的重要应力 - 应变 - 强度特性

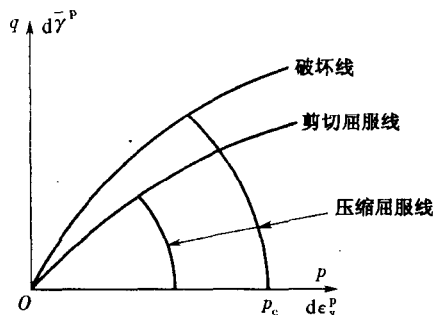
1. 非线性与静压屈服特性

图 1-2-1(a),(b)给出了正常固结黏土的单轴压缩-回弹-再压缩曲线和常规三轴剪切试验整理出来的破坏与屈服曲线;图 1-2-2(a),(b),(c)给出了土类、岩石和混凝土在常规三轴剪切条件下的 $\sigma-\epsilon$ 关系曲线。图 1-2-2(a)中上部两条曲线为应力 - 应变曲线,下部两条曲线为体应变 ϵ_v 与轴应变 ϵ_1 关系曲线。由图中可以得出如下结论:

(1) 非线性。从图 1-2-1(a)及图 1-2-2(a),(b),(c)都可以看出:除在应力比较小的情况下,岩土类材料的 $\sigma-\epsilon$ 关系为直线,属于弹性范围外,在较高的应力水平和可利用的强度范围内,材料的 $\sigma-\epsilon$ 关系均表现出明显的非线性塑性性质。如图 1-2-1(a)在卸载时产生明显



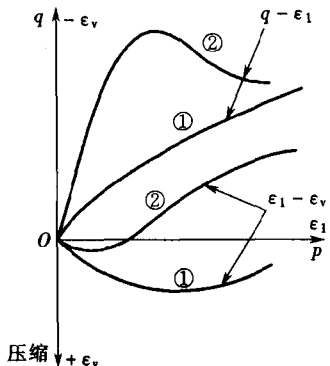
(a)



(b)

图 1-2-1 正常固结土的压缩与剪切曲线

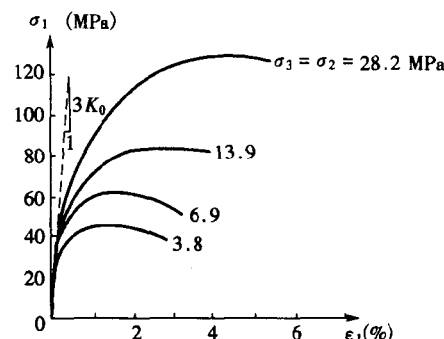
(a) 压缩曲线；(b) 三轴剪切曲线



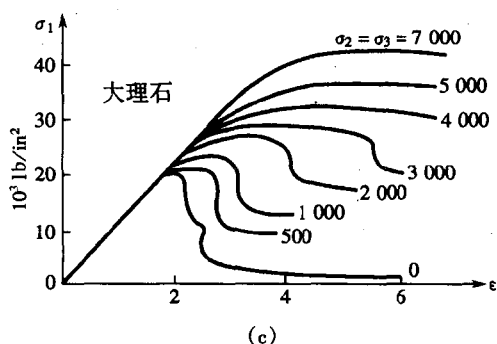
(a)

①松砂和正常固结黏土

②密砂和超固结黏土



(b)



(c)

图 1-2-2 土、岩石和混凝土的 σ-ε 关系曲线

(a) 土的三轴试验曲线；(b) 混凝土三轴受压试验；(c) 岩石的三轴试验应力 - 应变曲线

注：lb/in² 为英制单位，1 lb/in² = 1 磅/平方英寸。



的塑性应变 ϵ^p 和塑性体应变 ϵ_v^p 。

(2) 静压屈服特性。静压屈服特性指在纯静水压力 p 作用下,材料可以产生体积应变屈服的特性。我们知道金属材料在很高的压力(各向等压)作用下,其体积形变都是弹性的,因而静水压力不会产生和影响塑性剪切变形和塑性体积变形。而岩土类材料在纯静水压力 p 的作用下,可以产生塑性体应变,如图 1-2-1(a)中的 B 点和图 1-2-1(b)中的 p_c 点所示。这说明岩土类材料在纯静水压力作用下可以产生屈服。这就是岩土类材料的静压屈服特性。

2. 硬化与软化特性

图 1-1-2 已经说明了混凝土材料具有硬化与软化特性,图 1-2-2(a)、(b)、(c)再次印证岩土类材料普遍存在着应变硬化与软化特性(正常固结黏土和松砂无软化特性,如图 1-2-2(a)所示),同时还说明硬化过程随着围压 σ_3 的增加而增强,软化过程随着围压的增加而减弱。这也说明了静水压力(σ_3 的增加就意味着静水压力的增加)对材料屈服强度的影响。

3. 压硬性与剪胀性

我们知道,对于弹性本构关系($\sigma = E\epsilon, \tau = G\gamma$)而言,正应力 σ 只产生正应变 ϵ ,剪应力 τ 只产生剪应变 γ ;对于经典塑性本构关系而言,静水压力不产生屈服,剪应力只产生弹性和塑性剪应变。因而,二者的正应力与剪应变及剪应力与正应变之间不存在任何关系,或者说它们之间没有耦合作用。而对于岩土类材料而言,它们之间存在着相互影响或耦合作用。这种关系就称为岩土类材料的压硬性与剪胀性。

(1) 压硬性。压硬性指的是静水压力与剪应变之间的耦合作用。也就是说,对于岩土类材料,静水压力不仅产生弹性的和塑性的体应变,而且还会引起剪应变刚度的增大而使剪应变变化。图 1-2-1(b)和图 1-2-2(a)、(b)、(c)都说明了这种性质。图中明显可以看出,静水压力增大(在图 1-2-2(b)、(c)中表现为 σ_3 的增加),材料的强度提高,从而影响了材料的剪变形。

(2) 剪胀性。剪胀性指的是剪应力与体应变之间的耦合作用。也就是说,剪应力不仅产生弹性的和塑性的剪变形,而且会使材料的体积发生膨胀或收缩。当剪应力使材料体积膨胀时就称为剪胀性,当剪应力使材料体积收缩时就称为负的剪胀性或剪缩。图 1-2-2(a)中同时给出了 $\epsilon_v - \epsilon_1$ 关系曲线。从图中可以看出,剪切开始时,各种土都产生压缩和剪缩现象,随后很快都会产生剪胀现象。超固结黏土和密砂的剪胀现象最为明显, $\Delta\epsilon_v$ 为负值即剪胀。

即使对于正常固结黏土和松砂,虽然产生的都是体积压缩,但是这是产生剪胀之后的体缩,如果没有剪胀,体积压缩将会更大。

在岩石力学中,剪胀性称为“扩容”,意指剪应力引起的体积(容积)扩大。岩土类材料的这种包括剪胀性与压硬性的本构关系,用框图来表示如图 1-2-3 所示。可见,与弹性和经典塑性本构关系相比,岩土类材料的本构关系就要复杂

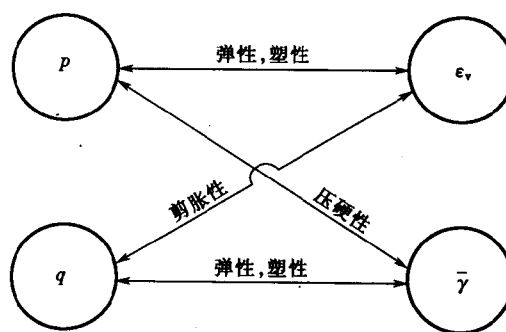


图 1-2-3 岩土材料的本构关系框图

得多了。

4. 路径相关性

路径相关性指的是岩土类材料的应力-应-强度关系受应力路径或应变路径的影响。应力或应变路径指的是在实验室条件下或工程条件下,一点应力或应变在加卸载过程中所走过的路径或路线,图1-2-4表示对一种土的不同应力路径剪切试验所得的广义剪应力 q 与广义剪应变 $\bar{\gamma}$ (广义剪应力、广义剪应变定义见第二章)关系图。它说明即使对同一种土,其应力-应变-强度关系也要受应力路径影响,也就是说没有唯一的应力-应变关系。因此在岩土塑性力学中,常常喜欢用应力与应变的增量理论($d\sigma_y$ 与 $d\varepsilon_y$ 关系),而不是用全量理论(σ_y 与 ε_y)来表述其应力-应变关系。只有指明不受应力路径影响的情况下,才可使用全量理论。

5. 摩擦型屈服与破坏特性

金属材料的屈服与破坏一般属无摩擦型,即屈服及破坏与静水压力无关,服从Tresca与Mises准则。而岩土类材料由于其三相体混合结构的特性,屈服与破坏属于受静水压力影响的摩擦型材料(饱和不排水黏土属无摩擦型)。屈服与破坏一般的说服从Coulomb-Mohr及Drucker-Prager类型准则,如图1-2-1(b)所示。

二、岩土类材料的其他本构特性

除了上述五种岩土类材料的重要本构关系特性外,岩土类材料还有以下一些主要特性。

(1) 中间主应力 σ_2 对强度有影响。实验表明,岩土材料的屈服不仅受最大主剪应力 $\frac{1}{2}(\sigma_1 - \sigma_3)$ 影响,而且还要受到中间主应力 σ_2 或其他两个主剪应力 $\frac{1}{2}(\sigma_1 - \sigma_2)$ 或 $\frac{1}{2}(\sigma_2 - \sigma_3)$ 中较大一个剪应力的影响。这可以称为中间主应力对强度有影响或称为双剪应力影响。

(2) 岩土材料的拉压强度不同。砂土不能承受拉力;黏性土能够承受很小的拉力,而且很不可靠;混凝土和岩石虽有一定的抗拉强度,但与其抗压强度相比,要小得多。这一点也与金属材料不同。

(3) 弹塑性耦合作用。材料应力进入塑性阶段后,反复加卸载或受周期荷载作用,将引起材料弹性性质与塑性性质的相互作用与影响。这种现象就称为弹塑性耦合作用。例如,在材料塑性变形阶段,塑性变形的增加引起弹性模量的下降,就属于弹塑性耦合作用。

(4) 初始各向异性和应力导致的各向异性。初始各向异性是指岩土在天然沉积或地质作用的过程中形成的材料各向力学性质的不同,例如天然黏性土由于沉积的作用而形成的在水平方向的力学性质的横观各向同性,在垂直方向其力学性质就不相同。应力导致的各向异性指的是材料在拉压或剪切应力的作用下,引起了材料屈服极限等的变化。例如岩土材料在拉压应力的反复作用下,也可以引起应力屈服极限的一边强化、一边弱化的现象。

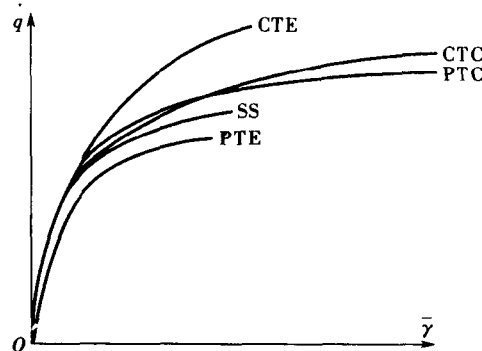


图 1-2-4 不同应力路径的剪切试验曲线

注: CTC, CTE—常规三轴($\sigma_2 = \sigma_3$)的伸长与压缩试验;

SS— $P = \text{Const}$ 的单剪试验;

PTE, PTC— $P = \text{Const}$ 的三轴伸长与压缩试验